

## طراحی ایمونوسنسور الکتروشیمیایی با استفاده از Au-NP و PVA به منظور اندازه‌گیری کمی آلبومین ادراری

زهرا میرزاچیزاده<sup>۱</sup>، فاطمه قلیزاده<sup>۱</sup>، زینب شیروانی فارسانی<sup>۱</sup>، فاطمه سادات امجد زنجانی<sup>۱</sup>، کبری امیدفر<sup>\*</sup><sup>۱</sup>

### چکیده

**مقدمه:** توسعه و بهبود ایمونوسنسورها با حساسیت و ویژگی بالا برای تشخیص فرایندهای فیزیولوژیک یا پاتولوژیک در بدن، فرصت مناسبی را برای تشخیص و درمان زود هنگام بیماری‌ها ایجاد می‌نماید.

**روش‌ها:** در این مطالعه، یک ایمونوسنسور رقابتی جدید با استفاده از یک آنتی‌بادی مونوکلونال علیه آلبومین سرم انسان (HSA)، متصل به نانوذره طلا (AuNP) طراحی شد که آلبومین موجود در ادرار را تشخیص می‌دهد. در ابتدا، آنتی‌بادی مونوکلونال به سطح نانوذره طلا متصل شده و سپس مخلوط آنتی ژن HSA و وینیل الکل روی سطح سنسور نواری با الکترود کار کردنی (Screen Printed Carbon Electrode) SPCE) چکانده شد. با استفاده از موج UV، وینیل الکل پلیمریزه گردید تا پلی وینیل الکل (PVA) ایجاد گردد.

**یافته‌ها:** تصاویر میکروسکوپ الکترونی از الکترود تغییر یافته یک اتصال مناسب و پایدار بین آنتی ژن HSA و آنتی‌بادی مونوکلونال و نانوذره طلا را نشان داد. روش ولتامتری چرخه‌ای، نشان داد که فرایند مدیفیکاسیون به خوبی انجام شده است. اندازه‌گیری‌های الکتروشیمی شامل ولتامتری تمایز پالسی (DPV) و ولتامتری امواج مربعی (SWV)، برای تشخیص کمی آنتی ژن استفاده گردید. با افزایش غلظت HSA در نمونه‌های استاندارد و واقعی، پاسخ‌های DPV و SWV کاهش یافت.

اندازه‌گیری‌های الکتروشیمی با دیگر پروتئین‌های مخلوط شده با نمونه‌ها نیز انجام شد که ویژگی و حساسیت بالایی برای این ایمونوسنسور در تشخیص HSA را نشان دادند. در شرایط بهینه، ایمونوسنسور می‌تواند، HSA را در طیف خطی بالایی (از ۲/۵ تا ۲۰۰ μL/mL) اندازه‌گیری کند و دقت اندازه‌گیری آن ۲۵ng/ml است.

**نتیجه‌گیری:** در این مطالعه، روشی آسان و جدید، با استفاده از ایمونوسنسورهای رقابتی برای تشخیص آلبومین در نمونه‌های ادرار ابداع شد. این راهبرد می‌تواند بهبود یافته و برای اندازه‌گیری آنتی ژن‌های دیگر به کار رود.

**واژگان کلیدی:** ایمونوسنسور، آلبومین، نانوذره طلا، پلی وینیل الکل

این مقاله ترجمه مقاله‌ای است که در مجله Biosensors and Bioelectronics 26(2011)4177-4183 به چاپ رسیده است.

۱- مرکز تحقیقات غدد/ پژوهشکده علوم غدد و متابولیسم، دانشگاه علوم پزشکی تهران

\*نشانی: تهران، خیابان کارگر شمالی، بیمارستان شریعتی، طبقه پنجم، مرکز تحقیقات غدد/ پژوهشکده علوم غدد و متابولیسم،

کدپستی: ۱۴۱۱۴۱۳۱۳۷، تلفن: ۰۲۱-۸۸۲۲۰۰۳۷-۸، نامابر: ۰۵۲-۲۱-۸۸۲۲۰۰۵۲، پست الکترونیک: omidfar@tums.ac.ir

## مقدمه

فلوروایمونواسی<sup>۲</sup>، الایزا<sup>۳</sup> و رادیوایمونواسی<sup>۴</sup> از جمله روش‌های ایمونواسی بوده که بر اندازه‌گیری کمی آلبومین ادراری بنا شده‌اند [۱۱-۱۵]. بنابراین این روش‌ها اغلب نیازمند یک واکنش طولانی مدت، معرف‌ها و وسایل ویژه هستند و مراحل گوناگونی را در بر می‌گیرند.

در موارد اورژانس، بیوسنسورها می‌توانند به عنوان یک روش ایده آل مورد استفاده قرار گیرند. برتری‌های این روش شامل پاسخ سریع، حساسیت بالا، کارایی ویژه، هزینه کم و تفسیر و استفاده آسان آن است [۱۲، ۱۳].

هدف این مطالعه توسعه ایمونوسنسورهای الکتروشیمیایی یکبار مصرف برای تشخیص آلبومین ادراری است که بر اساس تغییر سطح الکترود کار از جنس کربن با پلی وینیل الكل (PVA) و استفاده از نانو ذره طلا (AuNP) بنا نهاده شده و اندازه‌گیری سریع و حساس آنالیت‌ها در مایع زیستی را امکان‌پذیر می‌سازد.

در این روش اساس شناسایی نیز بر پایه واکنش آنالیت با آنتی‌بادی خاص کونزوگه با نانو ذره‌های طلا بنا گردیده است. با استفاده از خاصیت اکسیداسیون-احیای نانو ذره‌های طلا (AuNPs) در محیط اسیدی، امکان اندازه‌گیری نانو ذرات و در واقع آنالیت موجود در نمونه امکان‌پذیر می‌گردد. سیگنال الکتروشیمیایی تولید شده بعد از اکسیداسیون نانو ذرات در اسید کلریدریک یک مولار و ولتاژ ۱/۲۵ و زمان ۴۰ ثانیه و در ادامه احیای AuCl<sub>4</sub> با استفاده از روش‌های SWV و DPV اندازه‌گیری می‌شود. برای ثبت جریان کاتالیتیکی تولید شده توسط اکسید و احیا شدن نانوذره طلا، از روش‌های الکتروشیمیایی همچون ولتاوی چرخه‌ای (CV)، ولتاوی تمایز پالسی (DPV) و ولتاوی امواج مربعی (SWV) استفاده می‌گردد. در این روش‌ها، سیگنال پتانسیل سنجی در حضور نانو ذرات طلا (AuNPs) در پتانسیل مناسبی در محیط اسیدی تولید می‌شود. در این مطالعه پلی وینیل الكل (PVA) برای ثبیت آلبومین روی سطح الکترود SPC به عنوان لایه سنسور استفاده شده است. پلی وینیل الكل (PVA) یک پلیمر مصنوعی غیر سمی و سازگار با محیط زیست است و از جمله ویژگی

پیشرفت بیوسنسورها برای تشخیص سریع و حساس، عامل مهمی در شناخت آنالیت‌های موجود در نمونه‌های زیستی است. ایمونوسنسورها، بیوسنسورهایی هستند بر پایه برهمکنش ویژه بین آنتی‌بادی و آنتی ژن که کاربردهای مفیدی در زمینه‌های پزشکی و علوم پایه دارند [۲، ۱].

در این مطالعه، یک ایمونوسنسور الکتروشیمیایی بر پایه آنتی‌بادی نشاندار شده با نانوذره طلا به منظور شناسایی آلبومین ادراری با حساسیت موردنیاز طراحی گردیده است. آلبومین با وزن مولکولی ۶۷ هزار دالتون بیشترین پروتئین پلاسماست که مسؤول فشار اسمزی خون است. عمل بنیادی آلبومین تنظیم حجم خون و فشار اسمزی، به علاوه انتقال مولکول‌های مختلفی همچون هورمون‌ها، اسیدهای چرب، داروها، بیلی‌رویین و ویتامین‌ها می‌باشد [۳، ۴].

در یک شخص سالم، تنها نسبت کوچکی از کل پروتئین دفع شده در ادرار، آلبومین است. اما در اکثر بیماری‌ها، افزایش نسبت آلبومین در ادرار مشاهده می‌گردد که آلبومینوری نامیده می‌شود [۴]. به عبارت دیگر، آلبومینوری شاخص آسیب گلومرول است و همچنین به عنوان عامل خطر مستقل نیز شناخته شده است که نشانه‌ای برای پیشرفت هر دو بیماری کلیوی و قلبی-عروقی در جمعیت عمومی و افراد دیابتی است.

به علاوه، افزایش آلبومین ادراری ممکن است با فشار خون، بعضی ناهنجاری‌های لبیپیدی، اختلالات ایمنی، ورزش شدید، خون در ادرار، عفونت مجاری ادراری، دهیدراسیون و درمان‌های دارویی خاص مرتبط باشد [۵، ۶].

میزان غیر عادی دفع آلبومین به طور کلی با روش‌های ویژه‌ای چون کروماتوگرافی مایع با کارایی بالا (HPLC) و ایمونواسی اندازه‌گیری شده که برابر با ۳۰ mg/۲۴h با ۲۰ µg/min است. کروماتوگرافی مایع با کارایی بالا (HPLC) و کروماتوگرافی مایع اسپکترومتری جرمی (Mass LC-) چندین تکنیک اندازه‌گیری با حساسیت بالا برای تعیین آلبومین ادراری هستند.

بیشتر روش‌های معمولی برای آنالیز آلبومین ادراری بر پایه ایمونواسی است. روش‌های ایمونوتوربی دایمتری،

2- Fluoroimmunoassay

3- ELISA

4- Radioimmunoassay

1- Immunoturbidimetry

## روش‌ها

### معرف‌ها

تترا کلرویوریک اسید (HAuCl<sub>4</sub>، تری سدیم سیترات، سدیم آزاید، RPMI ۱۶۴۰، سرم جنینی گوساله (FCS)، استرپتومایسین، پنی‌سیلین، آلبومین سرم گاوی (BSA)، آلبومین سرم انسانی (HSA)، هموگلوبین، ستون پروتئین G و وینیل الکل که همه از Sigma-Aldrich خریداری شده‌اند (St.Louis, MO, USA).

همچنین همه مواد به کار رفته در بافر و مواد شیمیایی معدنی دیگر از Sigma-Aldrich یا Fluka تهیه شده‌اند. محلول فسفات بافر (PBS) شامل فسفات بافر سالین ۱M /۰.۰۱M، کلرید سدیم (NaCl) ۰.۱۳۷M، کلرید پتاسیم (KCl) ۰.۰۰۳M با pH ۷/۵ می‌باشد. به علاوه، همه مواد شیمیایی به همان صورت خریداری شده مورد استفاده قرار گرفتند و همه محلول‌های آبی در آب دو بار تقطیر شده تهیه شدند.

### دستگاه‌ها

همه اندازه‌گیری‌های الکتروشیمیایی توسط پُنتوستات با یک رابط برای الکترودهای صفحه‌ای والکترودهای صفحه کربنی که شامل یک الکترود کار گرافیتی مدور با قطر ۳mm، یک الکترود رفرنس Ag/AgCl و یک الکترود گرافیتی شمارشگر می‌باشد، انجام شد. به منظور محدود کردن منطقه واکنش سل الکتروشیمیایی تغلن تک قسمتی با حفره‌ای به قطر ۵mm (حجم ۵۰μl) طراحی گردید. همه سانتریفیوژها توسط دستگاه سانتریفیوژ Beckman انجام شد. میکروسکوپ الکترونی نگاره (SEM) برای نانوذره طلا و تعیین تغییرات الکترود بکار گرفته شد.

### تولید و خالص‌سازی آنتی‌بادی مونوکلونال

لاین سلول هیبریدوما که تولید کننده آلبومین mAb هستند از ادغام لنفوسيت طحال موش و سلول ميلوما sp2/0 ساخته شده‌اند [۱۵]. سلول هیبریدوما در ۵۰mL محیط کشت حاوی FCS ۳٪ رشد داده شدند و آنتی‌بادی‌ها از مایع رویی محیط کشت توسط کروماتوگرافی تمایلی روی

های دیگری که برای آن گزارش شده است شامل زنجیرهای مولکولی انعطاف‌پذیر، چسبندگی عالی به الکترودها و طبیعت رسانا می‌باشد. پلی وینیل الکل (PVA) کاربردهای زیادی در بیومواد، بیوسنسورها، سنسورهای الکتروشیمیایی، بیوتکنولوژی و صنعت غذایی و پزشکی دارد. پلی وینیل الکل (PVA) ویژگی‌های غیرطبیعی را در طول فریز شدن و ذوب شدن ملایم در یک محلول آبی از خود نشان می‌دهد. بعد از فرایند فریز و د弗یز شدن، پیوندهای عرضی بین زنجیره‌های PVA به طور فیزیکی توسط پیوندهای نیمه پایدار، ارتباطات ملکولی یا کریستاله شدن ایجاد می‌شود. این ساختار سه بعدی به عنوان ماتریکس مناسبی برای تثیت ملکول‌های زیستی در تهیه بیوسنسورها مطرح شده است.

در طی فرایند کپسول‌گذاری، مولکول‌های بیولوژی با به دام افتادن در منافذ ماتریکس جامد، تثیت شده که در طول این فاز برهmekش‌های ضعیفی همچون پیوند هیدروژنی، نیروهای الکترواستاتیک یا واندروالس بین مولکول‌های بیولوژی و ماتریکس اتفاق می‌افتد [۱۳، ۱۴]. انکوباسیون آنتی‌زن تثیت شده با آنتی‌بادی کوژنرگه با نانوذره‌های طلا (AuNPs) از طریق سنجش مستقیم انجام شد.

هدف این تحقیق، ترکیب ویژگی‌های مفید نانو مواد و پلی مر نارسانا برای گسترش ایمونوسنسور الکتروشیمیایی پروتئینی است. در این بررسی پلی مر پلی وینیل الکل (PVA) و نانوذرات طلا (AuNPs) برای طراحی یک ایمونوسنسور الکتروشیمیایی و یکبار مصرف با حساسیت بالا استفاده شده که می‌تواند برای تعیین آلبومین (ALB) ادراری به کار رود.

نانوذرات طلا (AuNPs) با استفاده از تغليظ شیمیایی به وسیله احیای تترا کلرو بوریک اسید با تری سدیم سیترات به عنوان یک احیا کننده در دمای بالا ساخته شدند. تشکیل کمپلکس آنتی‌زن-آنتی‌بادی HSA روی سطح الکترود توسط خاصیت اکسید - احیای نانوذرات طلا در محیط اسیدی جستجو شد و توسط CV و DPV نشان داده شد.

## الکترود تغییر یافته کربنی صفحه‌ای (ساخت ایمونوسنسورها)

ساخت ایمونوسنسورهای HSA روی سطح SPCes مطابق روش زیر انجام شد: در ابتدا وینیل الكل در بافر استات در ۷۰°C به مدت نیم ساعت حل شد تا محلول هموژن وینیل الكل با درصدهای متفاوت به دست آید. سپس HSA با وینیل الكل مخلوط و استیرر شد تا محلولی هموژن به دست آید. مرحله بعد ۱mL وینیل الكل حاوی HSA (۲۵۰ng/mL) روی سطح الکترود قرار داده شد و سپس وینیل الكل تحت شرایط UV به مدت ۲۰ دقیقه پلیمریزه گردید. بدین ترتیب پلی وینیل الكل (PVA) حاوی HSA حاصل شد. طبق این پروتکل آنتی زن HSA توسط تله فیزیکی پلی وینیل الكل (PVA) در سطح الکترود ثبیت گردید. پلی وینیل الكل با هدف افزایش پایداری و قابلیت تکرار پذیری الکترود اصلاح شده، استفاده شد.

بعد از آن جایگاه‌های اتصالی غیر اختصاصی توسط انکوباسیون با PB (pH=۷، ۰/۱M) حاوی ۱٪ BSA و توئین ۰/۰۵٪، ۰/۰۵٪ به مدت ۱۵ دقیقه در ۳۷°C بلوکه شدند. سپس SPEs توسط PBS و توئین ۰/۰۵٪، ۰/۰۵٪ شسته شد تا پروتئین‌های باند نشده از سطح الکترود برداشته شود. متعاقباً ۱mL از محلول نانوذره طلای کونژوگه شده با Ab در سطح SPCes پخش شد و الکترودها برای ۳۰ دقیقه در ۳۷°C انکوبه شدند. بعد از انکوباسیون، SPEs توسط PBS حاوی توئین ۰/۰۵٪، ۰/۰۵٪ شسته شد تا کونژوگه باند نشده برداشته شود. طرح ۱ تصویر شماتیکی از روند طراحی سنجش را نشان می‌دهد.

## روش اندازه‌گیری

بعد از اینکه الکترود اصلاح شده در سل الکتروشیمیایی قرار داده شد، ۵۰µL از محلول HCl یک مولار در سطح SPC ریخته شد. متعاقباً، سیگنال‌های آنالیتیکالی توسط CV و DPV و SWV ثبت گردیدند. اندازه‌گیری‌های CV در محدوده پتانسیلی -۱- ۱/۳V در سرعت خوانش ۵۰mv/s انجام شد. برای بررسی‌های DPV و SWV الکترود تغییر یافته در پتانسیل ثابت +۱/۲۵V برای ۴۰ ثانیه در همان شرایط زمانی نگه داشته شد. به علاوه

ستون G rap protein HiT خالص‌سازی گردیدند. آنتی‌بادی‌های جدا شده در مقابل بافر فسفات سالین دیالیز شده و تغلیظ گردید.

## ستز نانوذره طلا

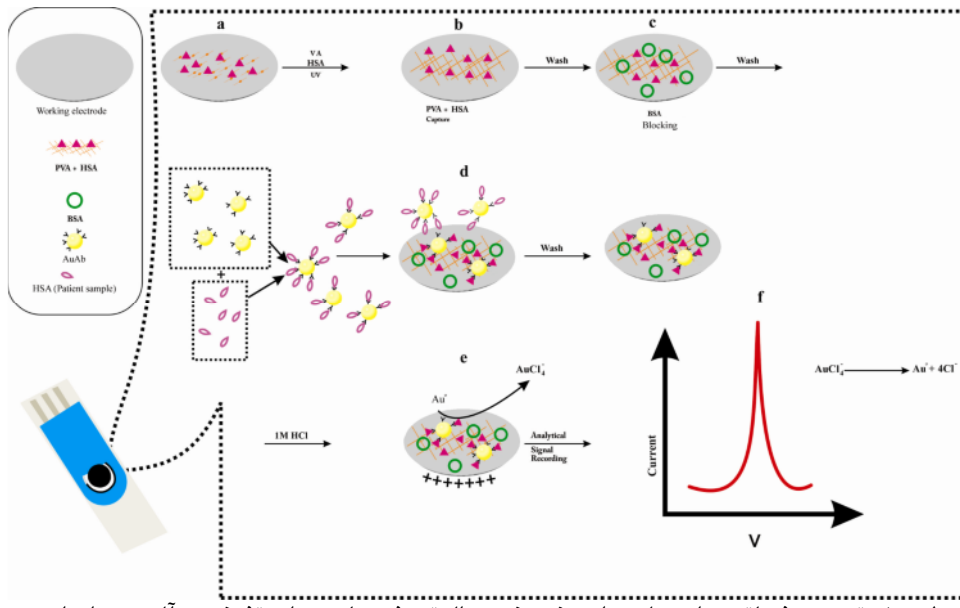
نانوذرات فلزی می‌توانند به طور شیمیایی با احیای نمک فلزی به واسطه یک عامل احیا کننده قوی در محلول ستز شوند. در این مطالعه ستز نانوذره طلا با استفاده از فرایند شیمیایی انجام شد. به طور خلاصه، نانوذره‌های طلای ۲۰nm با احیای تراکلروپوریک اسید (HAuCl4) توسط ۱۰۰mL سدیم سیترات ستز شدند. به این صورت که ۰/۰۱٪(w/v) HAuCl4 با ۰/۰۱٪(w/v) HCl آن را گرم نموده تراکلروپوریک اسید را در حال هم خوردن اسید، محلول تری سدیم سیترات ۱٪ به آن اضافه شد. بعد از ۸ دقیقه هنگامی که محلول از رنگ زرد تا قرمز شرابی تغییر رنگ داد در دمای اتاق قرار داده شد تا خنک شود. سپس pH آن با سدیم هیدروکساید (NaOH) ۸/۵ تنظیم و در نهایت سدیم آزاد (w/v) ۰/۰۱٪ به محلول اضافه شد. محلول نانوذره طلای تهیه شده در ۴۰°C و در ظرف شیشه‌ای تیره رنگ برای چندین ماه قابل نگهداری است [۱۶].

## کونژوگه آنتی‌بادی - طلای کلوئیدی

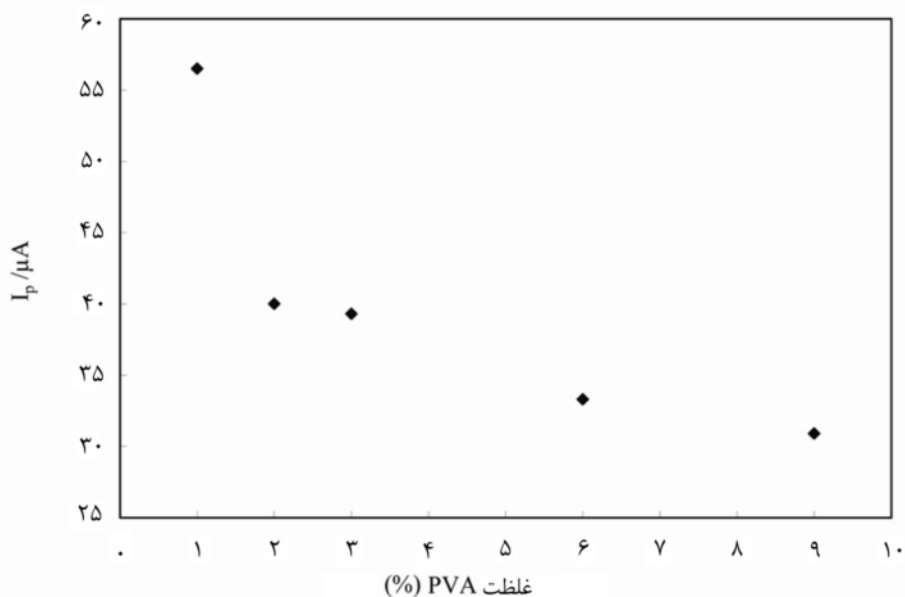
کونژوگه آنتی‌بادی - طلا طبق روش زیر ساخته شد: برای کونژوگه کردن، ۳۰µg از ۳۰µg/mL HSA mAb حل شده در بافر فسفات، (pH=۷/۵) به ۱۰mL ۱۰mL طلای کلوئیدی با pH مناسب اضافه شد. مخلوط یک شباهه روز در دمای ۴۰°C استیرر گردید. سپس محلول ۱۰٪ به جهت بلوکه کردن فضای خالی موجود در سطح ذرات طلا به آن اضافه و مجدداً به مدت ۵ دقیقه در دمای اتاق استیرر گردید. سپس در دور ۱۵۰۰۰g، به مدت ۴۵ دقیقه و در ۴۰°C سانتریفیوژ و رسوب حاصله در ۱۰mL PBS حاوی ۱٪(w/v) BSA و سدیم آزاد ۰/۰۵٪ حل شد. سانتریفیوژ همانند شرایط قبل دو بار دیگر تکرار شد و سرانجام رسوب نهایی در ۱۰mL PBS حل و در ۴۰°C ذخیره شد [۱۶].

حضور HCl در مطالعه بیوالکتروشیمیایی ثبت گردید. همه اندازه‌گیری‌های الکتروشیمیایی در دمای اتاق انجام شد.

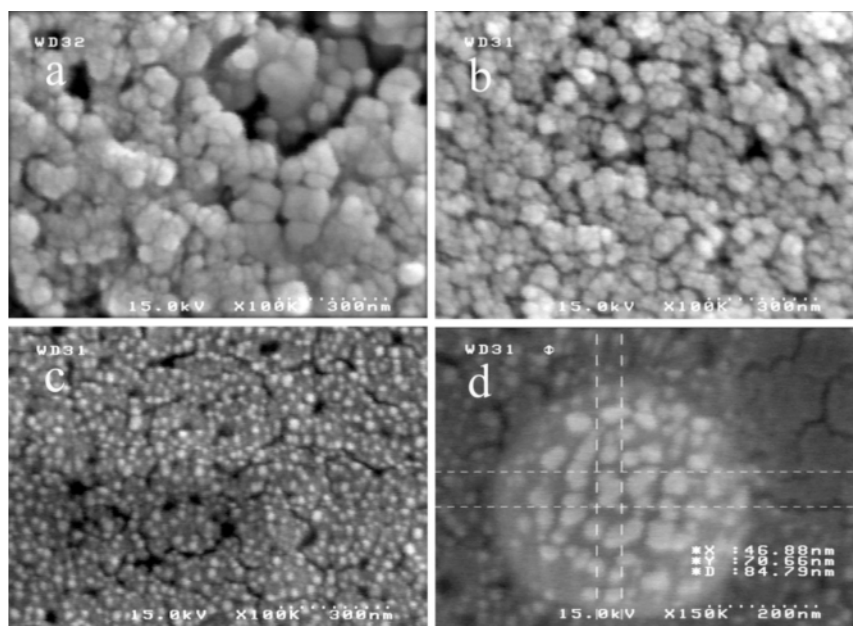
اندازه‌گیری‌های DPV و SWV در محدوده پتانسیلی  $-0.2$  تا  $-0.77$  انجام شدند. تولید جریان کاتدی به صورت سیگنال‌های آنالیتیکالی از اکسید و احیای نانوذره طلا در



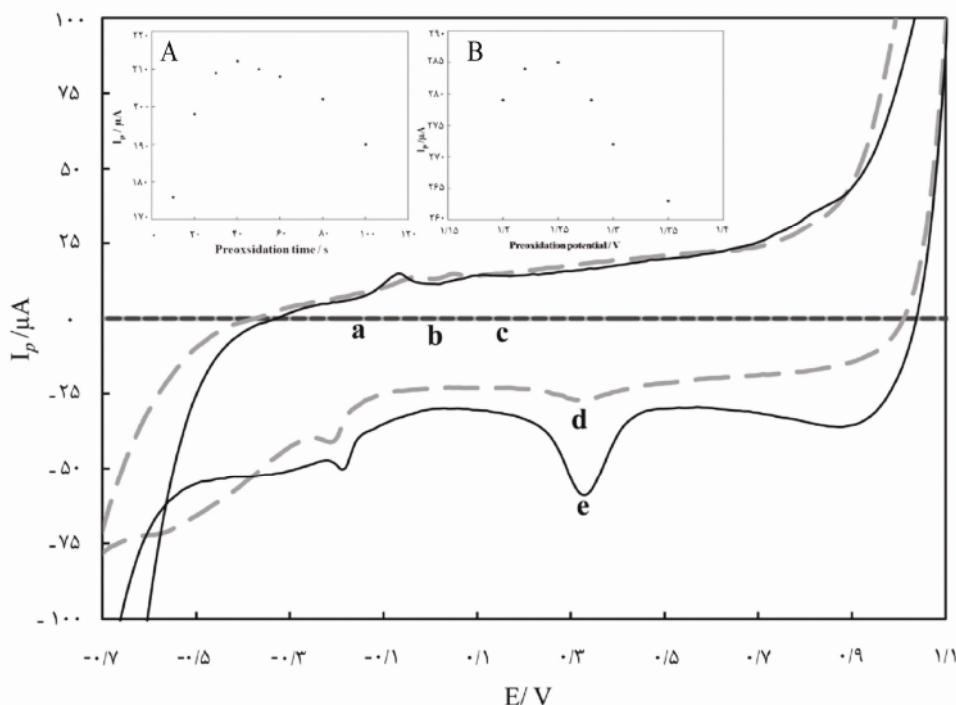
طرح ۱- تصویر شماتیکی از عملکرد ایمونوسنسور الکتروشیمیایی برای تشخیص آلبومین ادراری



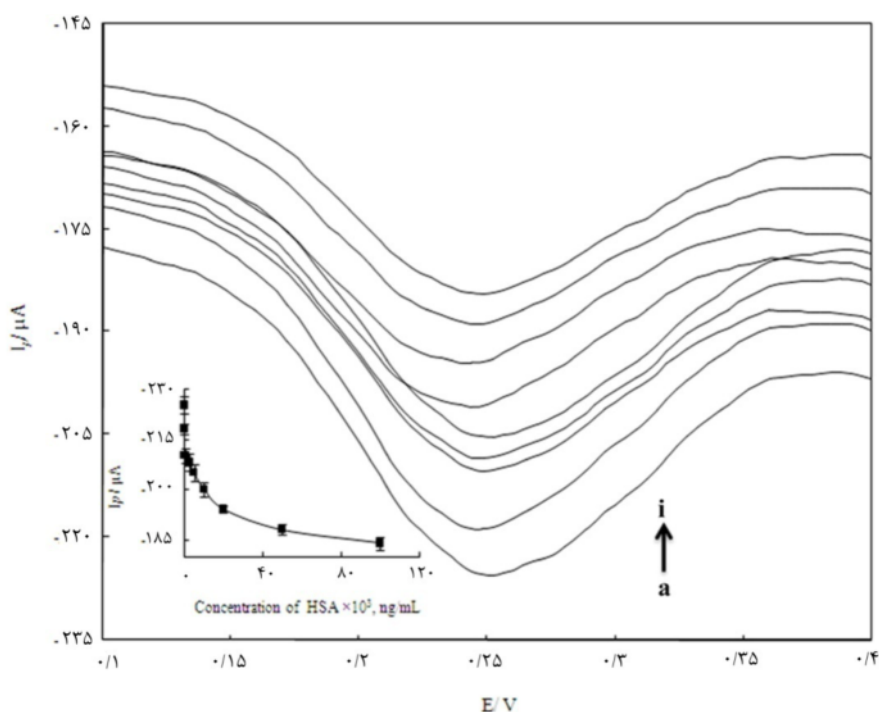
شکل ۱- پاسخ ایمونوسنسور نسبت به غلظت‌های مختلف PVA (۱٪ و ۲٪ و ۳٪ و ۶٪ و ۹٪) در حضور HSA



شکل ۲- تصاویر SEM از ایمونوسنسور (a) - PVA-HSA-Ab-AuNPs (b) - PVA-HSA (c) - PVA (d) توزیع نانوذره طلا بعد از تشکیل



شکل ۳- انواع اشکال الکترود تغییر یافته در حضور HCl یک مولار در محدوده پتانسیل -۰/۷- تا +۱/۱ ولت. سرعت خوانش: ۵.۰ mv/s (a) الکترود برخنه- PVA-HSA-Ab-AuNPs (b) -PVA-HSA-AuNP (c) -PVA (d) -PVA-HSA (e) تمايز پالسى پاسخ الکترود تغییر یافته برای بهینه سازی زمان الاتاموگرامهاى (a) (۹۰، ۸۰، ۷۰، ۶۰، ۵۰، ۴۰، ۳۰، ۲۰، ۱۰) ثانیه (b) پتانسیل (۲/۲۲، ۰/۲۷، ۱/۲۵، ۱/۲۵، ۱/۳۰، ۱/۳۵، ۱/۴۰) ولت



شکل ۴- ولتاوگرام‌های تمایز پالسی برای تشخیص HSA بر اساس رقت‌های سریالی مختلف آنتی ژن ( $200\text{ }\mu\text{g/mL}$  و  $180\text{ }\mu\text{g/mL}$  و  $150\text{ }\mu\text{g/mL}$  و  $10\text{ }\mu\text{g/mL}$  و  $20\text{ }\mu\text{g/mL}$  و  $25\text{ }\mu\text{g/mL}$ ) در  $0.25\text{ M HCl}$  بک مولار در سرعت خوانش  $50\text{ mv/s}$ . الحق: منحنی استاندارد HSA در ادرار با استفاده از الکتروود تغییریافته با PVA.

جدول ۱- مقایسه تعیین غلظت آلبومین ادرار با استفاده از ایمونوسنسور، CLIA و IT. نتایج ارائه شده میانگین ۳ بار آزمون می‌باشند.

نمونه‌ها	روش‌ها			RSD(%)
	ایمونوسنسور ( $\mu\text{g/mL}$ )	( $\mu\text{g/mL}$ ) IT	( $\mu\text{g/mL}$ ) CLIA	
۱	۹/۵	۱۰	۱۰	۵/۲
۲	۲/۵	۲/۶۵	۲/۷۵	۶/۶
۳	۵	۵/۲۵	۵/۱۵	۵/۵
۴	۱۰	۱۰/۵	۱۰	۵
۶	۳۳/۱	۳۵	۳۴/۲	۵/۷
۷	۲۰	۲۰/۶	۲۱	۳
۸	۵۰	۵۲/۲	۵۱/۲	۴/۴
۹	۱۸۰	۲۰۰	۱۸۹	۵/۵
۱۰	۳۷	۳۵	۳۵	۵/۴
۱۳	۶۳/۴	۵۸/۲	۶۰/۲	۸/۲
۱۴	۵۵/۶	۵۱/۲	۵۳/۲	۷/۹
۱۵	۹۷/۲	۸۷	۹۲	۹
۱۶	۱۲۱/۶	۱۲۴	۱۱۴	۱/۹
۱۷	۱۵۰/۱	۱۴۱/۳	۱۴۵/۳	۶

ایمونوتوربی دایمتری: IT؛ کمی لومنومتریک: CLIA

غلظت آلبومین  $> 30\text{ }\mu\text{g/mL}$  = طبیعی؛ غلظت آلبومین یوریا؛ آلبومین  $= 30-299\text{ }\mu\text{g/mL}$  = میکروآلبومین یوریا؛ آلبومین  $< 30\text{ }\mu\text{g/mL}$  = ماکروآلبومین یوریا  
نمونه ادرار با غلظت برابر یا بیشتر از  $180\text{ }\mu\text{g/mL}$  می‌بایستی رقیق گردند.

## یافته‌ها و بحث

نانوذره سنتز شده، ذرات کروی را نشان می‌داد که نمایانگر این است که نانوذره طلا در طول فرایند احیا شیمیایی تترالکلرویوریک اسید توسط تری‌سدیم سیترات شکل گرفته است. ساختمان نانوذره طلا توسط فرایند احیا در دمای بالا در آب ایجاد شد. متوسط قطر به دست آمده از ذرات کلولئیدی طلا که توسط اندازه‌گیری‌های UV-Vis و آزمایشات میکروسکوپ الکترونی گذاره (TEM) به دست آمده حدود ۱۸-۲۰ nm بود [۱۶].

شکل ۲a و ۲c مشخصات SPCEs تغییر یافته با PVA و PVA-HSA-AuNPs-Ab و PVA-HSA تصاویر SEM نشان داده است. در شکل ۲a ساختار متراکم الکترود در فقدان PVA نشان داده شده است. ساختار پرتوئین پدیدار شده است (شکل ۲b). به علاوه ساختار سه بعدی مناسبی برای هر دو الکترود PVA و PVA-HSA در شکل ۲a و ۲b نشان داده شده است. ساختارهای سختی از الکترود با نظمی ساخته شده از ساختارهای نانوذره-آنتی‌بادی کونتزوگه گلوبولار و شعاعی روی الکترود تغییر یافته نشان داده شده (شکل ۲c) در حالی که SPCEs تغییر یافته با PVA و PVA-HSA چنین ساختاری را نشان نداده است. افزایش اندازه (شکل ۲d) نانوذرات طلای سنتز شده بعد از اتصال آنتی‌بادی که در تصاویر SEM نشان داده شده موافقیت اتصال mAb به سطوح نانوذرات طلا را تصدیق می‌کند (شکل ۲d).

### بررسی ولتاوتمتری چرخه‌ای

مطالعات پایه‌ای برای ایمونوسنسور HSA به وسیله روش‌های CV انجام شد. همه اندازه‌گیری‌ها در PBS ۵۰ mv/s در سرعت خوانش pH ۷/۲ با ۰/۰۱ M گردید. منحنی a و b در شکل ۳ ولتاوگرام‌های چرخه‌ای از الکترود برخene و SPCE تغییر یافته با PVA هستند. این منحنی‌ها هیچ پیکی در روش‌های CV از ولتاوگرام‌های چرخه‌ای نشان ندادند، عمدتاً به علت اینکه PVA یک پلیمر نارسانا است و هیچ واکنش اکسایش-کاهش در سطح الکترود رخ نمی‌دهد. برای اندازه‌گیری جذب غیر اختصاصی،  $25 \mu\text{L}$  از محلول AuNP PVA بر روی الکترود

### مشخصات سطح SPCEs اصلاح شده با PVA

برای اطمینان از سطح الکترود با سازگاری زیستی مورد نظر و کم شدن جذب غیر اختصاصی، PVA برای ثبت HSA روی الکترود در نتیجه سازگاری زیستی و سختی بالا انتخاب شد. برای این هدف غلظت اپتیمیم PVA را برای ثبت آنتی‌ژن روی سطح الکترود تعیین کردیم. ولتاوگرام‌های چرخه‌ای به دست آمده از SPCEs شده با غلظت‌های مختلف PVA در شکل ۱ نشان داده شده است. نتایج نشان داده‌اند که پاسخ جریان ۱٪ PVA به ترتیب بیشتر از ۲٪ و ۳٪ است. به عبارت دیگر تفاوت پاسخ جریان بین ۲٪ PVA و ۳٪ ناچیز بود که شاید به علت تشابه در شدت جریانشان بود. اگرچه پوشش سطح، پایداری و نگهداری HSA در ۰/۲٪ PVA بهتر از ۰/۳٪ PVA بود. بر اساس این مشاهدات، ۲٪ PVA برای ثبت HSA و ساخت بیوسنسور انتخاب شد. همه اندازه‌گیری‌های CV در HCl یک مولار و سرعت خوانش ۵۰ mv/s انجام شده. کارایی ثبت آنتی‌ژن روی سطح الکترود در حضور و عدم حضور PVA به طور جداگانه طبق پروتکل امیدفر و همکاران آزمایش شده بود [۱۷].

ما دریافتیم کارایی آنتی‌ژن ثبت شده تقریباً ۲۰-۱۵٪ بیشتر از الکترود برخene است. این روش، پایداری و کارایی بهتری از یافته‌های Hg و همکارانش در استفاده از الکترود اصلاح شده PEG داشت [۱۸]. این یافته نشان می‌دهد که لایه PVA روی سطح الکترود، نه تنها پایداری و تکرارپذیری الکترود تغییر یافته را بهبود می‌بخشد، بلکه کارایی آنتی‌ژن ثبت شده در سطح الکترود را نیز افزایش می‌دهد و تعداد بیشتری از اپی‌توب‌های فعال توسط Ab-AuNP تشخیص داده می‌شود.

### بررسی‌های میکروسکوپ الکترونی

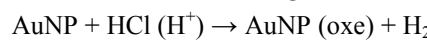
مورفولوژی نانوذره طلا و آنتی‌بادی کونتزوگه به سطح نانوذره طلا و مورفولوژی سطح فیلم بیوکامپوزیت الکترود اصلاح شده توسط یافته‌های میکروسکوپ الکترونی مشخص گردید. تصاویر میکروسکوپ الکترونی نگاره از

شد. محلول استاندارد به وسیله رقیق‌سازی محلول ذخیره آبومین ( $1\text{mg/mL}$ ) با نمونه‌های طبیعی ادرار آماده شد، تا غلظت‌های نهایی  $۰/۲۵$ ،  $۰/۵۰$ ،  $۱۰$ ،  $۱۵$ ،  $۲۰$ ،  $۶۵$ ،  $۸۰$ ،  $۱۵۰$  و  $۲۰۰\text{ }\mu\text{g/mL}$  حاصل شود.

آزمایش‌ها در این روش با قرار دادن  $1\text{mL}$  از مخلوط غلظت‌های سریالی محلول استاندارد و  $1\text{mL}$  از محلول نانوذره‌های طلا روی سطح الکترودها به دست آمده بود و سپس الکترودهای کار در شرایط پتانسیل  $+1/۲۵$  ولت به مدت  $۴۰$  ثانیه نگهداری شده و در نهایت اندازه‌گیری‌های DPV در یکی از این ولتاژها،  $+۰/۷$  ولت و  $-۰/۲$  ولت یا بین آن‌ها با سرعت خوانش  $۵۰\text{mv/s}$  انجام شد (شکل ۴). جریان کاتدی تولید شده به صورت پاسخ الکتروشیمیابی گزارش شده بود. واکنش زمینه با گذاشتن  $1\text{mL}$  از محلول  $\text{HCl}$  یک مولار روی سطح الکترود مطابق روش الکتروشیمیابی گزارش شد. پیک جریان DPV با کاهش غلظت HSA در محلول استاندارد و نمونه‌های واقعی برای اشخاص دیابتی و نرمال افزایش یافته است. پاسخ جریان از  $۰/۰۲۵$  تا  $۰/۰۰۰\text{ }\mu\text{g/mL}$  با حدود تشخیصی  $۰/۰۲۵\text{ }\mu\text{g/mL}$  افزایش یافت (الحاق شکل ۴). طیف خطی ایمونوسنسور طراحی شده، بین  $۲/۵$  تا  $۲۰۰\text{ }\mu\text{g/mL}$  است که در مقایسه با ایمونوسنسورهای الکتروشیمی دیگر طیف خطی گسترده‌تری دارد [۱۸، ۱۹]. اندازه‌گیری با SWV در همان شرایط DPV و شرایط پتانسیل  $+1/۲۵$  ولت برای  $۴۰$  ثانیه انجام شد و سپس اندازه‌گیری‌های SWV یا DPV در  $+۰/۷$  ولت و  $-۰/۲$  ولت با فرکانس  $۱۵$  هرتز انجام شد. داده‌های SWV، اثر همان شرایط DPV را نشان داد، که نتیجه‌گیری می‌شود ایمونوسنسور HSA طراحی شده در این مطالعه قابلیت تشخیص آنتی‌ژن با روش‌های الکتروشیمیابی متنوع را دارد.

برای بهینه‌سازی شرایط زمانی و پتانسیل، پارامترهای زیر آزمایش شد. در ابتدا، یک پتانسیل ثابت ( $۱/۳۷\text{V}$ ) با توجه به مقالات انتخاب گردید [۲۰]. دوم، اندازه‌گیری DPV در طیف‌های زمانی مختلف از  $۲۰\text{s}$  تا  $۱۰۰\text{s}$ ،  $۱۰$ ،  $۲۰$ ،  $۳۰$ ،  $۴۰$ ،  $۵۰$ ،  $۶۰$ ،  $۷۰$ ،  $۸۰$ ،  $۹۰$ ،  $۱۰۰$ ) انجام شد. در نهایت، زمان بهینه بر اساس پیک جریان کاتدی و پتانسیل پاسخ بیوسنسور انتخاب گردید (شکل ۳a). برای انتخاب پتانسیل‌های بهینه

HSA تغییر یافته چکانده و پاسخ جریان ثبت شد. سیگنال ضعیفی از ایمونوسنسور SPCE-AuNPs مشاهده گردید، که ممکن است به علت برهمکنش غیر اختصاصی بین AuNP و PVA باشد. یک قوی‌تری در  $۰/۳$  ولت در حضور نانوذره طلا-آنٹی‌بادی روی سطح الکترود تولید شد (شکل ۳) که به وسیله پراکسیداسیون نانوذره طلا و احیای AuCl در روش‌های الکتروشیمی ایجاد گردیده است. در  $۰/۳$  ولت نانوذره‌های طلا می‌توانند هیدروژن یونی را به هیدروژن مولکولی طبق مسیر زیر احیا کنند:



به عبارت دیگر افزایش غلظت نانوذره طلا روی سطح الکترود باعث افزایش پیک کاتدی جریان در روش‌های CV می‌شود، جایی که نشان می‌دهد نانوذرات طلا با قابلیت رسانایی بالا می‌توانند انتقال الکترون از سطح به الکترود را افزایش دهند. علاوه بر این، احیای هیدروژن یونی دلیلی بر انتقال الکترون در سل الکتروشیمیابی است و همچنین علت دومی برای افزایش جریان در ایمونوسنسور در حضور نانوذرات طلا است. این نتایج نشان می‌دهد که ایمونوسنسور ممکن است به غلظت نانوذرات طلای تثبیت شده روی سطح الکترود وابسته باشد.

## روش‌های ولتاوری تمایز پالسی و ولتاوری امواج

### مربعی (روش آنالیتیکالی برای تشخیص HSA)

پاسخ ایمونوسنسور HSA بر پایه واکنش آنتی‌ژن و کوئنزوگه آنتی‌بادی-نانوذره طلا می‌باشد. شدت جریان توسط افزایش اثر متقابل بین HSA آزاد در غلظت‌های بالای نمونه استاندارد واقعی کاهش خواهد یافت و این کاهش بین کوئنزوگه آنتی‌بادی-نانوذره طلا با آنتی‌ژن تثبیت شده مقایسه شد. در اینجا، اکسیداسیون نانوذره طلا در پتانسیل بالا، و دناتوره مولکول‌های زیستی در شرایط اسیدی بالا به طور همزمان انجام شد. بنابراین جداسازی سطح بیوکامپوزیت، ناحیه بزرگی که از نظر الکتریکی فعال است را برای اکسیداسیون یون‌های طلا فراهم می‌کند تا کارایی در طول روش‌های SWV و DPV را کاهش دهد. آالیزهای کمی به وسیله روش‌های SWV و DPV با غلظت‌های مختلف HSA انجام

اطمینان ایمونوسنسور طراحی شده توسط انجام آزمایش در نمونه‌های ادراری ۲۴ ساعته و مقایسه نتایج آن با روش‌های ایمونوتوربی دایمتری IT و کمی لومنومتریک (CLIA) بررسی گردید (جدول ۱). در این مطالعه ایمونوسنسور و IT را استفاده کردیم تا ۱۷ نمونه ادرار افراد دیابتی و کنترل را تست کنیم. افزایش در جریان پیک DPV با کاهش غلظت‌های HSA هم در نمونه‌های اصلی افراد طبیعی و هم افراد دیابتی مشاهده گردید (جدول ۱). انحراف استاندارد نسبی (RSDs) بدست آمده از سه اندازه‌گیری تکرار شده برای نمونه‌های دیابتی و کنترل در جدول ۱ نشان داده شده است. نتایج نشان می‌دهد که هر دو روش، انطباق معناداری در تشخیص دارد.

در نتیجه ایمونوسنسور HSA بر پایه PVA و کونژوگه AuNP-Ab یک ایمونوسنسور رقابتی است. در سل الکتروشیمیایی، HSA تثبیت شده و آزاد در محلول استاندارد و نمونه اصلی (شخص نرمال و دیابتی) برای واکنش متقابل با کونژوگه AuNP-Ab رقابت می‌کند. اگر غلظت HSA در نمونه پایین باشد، باعث می‌شود که سطح بالایی از کونژوگه AuNP-Ab با HSA تثبیت شده روی سطح الکترود برهمنکش کند، که منجر به افزایش پاسخ جریان در DPV یا SWV گردید. از طرف دیگر، اگر غلظت HSA در نمونه بالا باشد، باعث سطح بالایی از برهمنکش کونژوگه AuNP-Ab با HSA آزاد در سل الکتروشیمیایی می‌شود که منجر به کاهش نانوذره طلا روی سطح الکترود و نهایتاً کاهش جریان در هر دو روش الکتروشیمیایی DPV یا SWV می‌گردد. علاوه بر این، نتایج داده‌های مربوط به ایمونوسنسور رقابتی HSA بر اساس نانو مواد بدست آمده نشان می‌دهد که ایمونوسنسور HSA، یک ایمونوسنسور بهینه شده و توسعه یافته و با ویژگی بالا و فعالیت بلند مدت است. به علاوه دارای دقیقی در حد ng/mL و  $\mu\text{g}/\text{mL}$  برای ردیابی HSA در تعداد متنوعی از نمونه‌ها از جمله نمونه‌های استاندارد و اصلی می‌باشد.

### سپاسگزاری

پژوهش حاضر با حمایت مالی مرکز تحقیقات غدد درون ریز و متابولیسم دانشگاه علوم پزشکی تهران انجام شده است.

ایمونوسنسور در طیف‌های مختلف پتانسیل از ۱/۲۷ تا ۱/۴۷ (۱/۲، ۱/۲۵، ۱/۲۷، ۱/۳۰، ۱/۳۵ و ۱/۴۰ ولت) آزمایش شد و پتانسیل ۱/۲۵ ولت به عنوان پتانسیل بهینه برای بررسی DPV ایمونوسنسور انتخاب گردید (شکل ۳b). به منظور بدست آوردن حداکثر حساسیت الکتروشیمی، غلظت بهینه آتنی ژن کوت شده (HSA) و Ab-AuNPs لازم است. در این مطالعه، از الیزای رقابتی مستقیم همراه با آزمایش چکریورد برای بدست آوردن این غلظت بهینه استفاده گردید. بنابراین، غلظت مناسب HSA و Ab-AuNPs به صورت زیر آماده شد: ابتدا، غلظت‌های مختلف HSA (۵۰، ۱۰۰، ۲۰۰، ۲۵۰، ۳۰۰ نانوگرم) در PVA تثبیت و روی سطح الکترود چکانده شد. مقدار مناسب آتنی ژن برای سنجش، ۲۵۰ نانوگرم تعیین گردید. سپس حجم‌های مختلف Ab-AuNPs برای آماده‌سازی ایمونوسنسور، آزمایش شد. نتایج نشان داد که مقدار بهینه Ab-AuNPs ۱۱ $\mu\text{A}$  است. غلظت‌های بهینه واکنشگر تعیین گردیدند. به طوری که این غلظت‌ها، سیگنال جریان ماکریم حدود ۲۰۰–۲۲۰ $\mu\text{A}$  را در غیاب آنالیت با حداقل مصرف واکنشگر نشان دادند. زمان‌های مختلف انکوباسیون (۲۰ تا ۶۰ دقیقه) به منظور بدست آوردن زمان بهینه، ارزیابی شد. ماکریم جریان تولید شده در ۳۰ دقیقه انکوباسیون در ۳۷ درجه حاصل شد. در این مطالعه زمان کل بدست آمده برای تکمیل سنجش تقریباً ۸۰ دقیقه بود در حالی که روش‌های دیگر نیاز به زمان بیشتری دارد [۱۹، ۲۰].

### ویژگی و اطمینان ایمونوسنسور

ویژگی سنجش به وسیله مطالعه‌ای، آزمایش گردید که در آن، اوره (۱ mol/L)، کراتینین (۱۰ g/L)، هموگلوبین انسان (۱۰ mg/L)، ایمونوگلوبین انسان (۱۰ mg/L)، گلوکز (۲۰۰ mg/L)، تراسایکلین (۲۰۰ mg/L) و استامینوفن (۲۰ mg/L) به نمونه ادرار حاوی آلبومین (۲۰ mg/L) اضافه گردید. توجه شود که همه این مواد در غلظت‌هایی استفاده شدند که بالاتر از غلظت ماکریم در نمونه‌های کلینیکی بودند. دریافتیم که هیچ یک از سوبسترهاي بالا با نتایج ایمونوسنسور HSA تداخل ندارد.

## مأخذ

1. Wei Q, Li T, Wang G, Li H, Qian Z, Yang M. *Biomaterials* 2010; 31: 7332-7339.
2. Yang M, Li H, Javadi A, Gong S. *Biomaterials* 2010; 31: 3281-3286.
3. Butrtis CA, Ashwood ER. *Tietz textbook of clinical chemistry*, third ed 1999; Saunders Company, Philadelphia, Pennsylvania.
4. Datta P, Dasgupta A. *J Clin Lab Anal* 2009; 23: 314-318.
5. Matheson ADP, Willcox M, Flanagan JJ, Walsh B. *Diabetes Metab Res Rev* 2010; 26: 150-171.
6. Romundstad S, Holmen J, Hallan H, Kvenild K, Kruger Q, Midthjell K. *J Intern Med* 2002; 252: 164-172.
7. Contois JH, Hartigan CV, Rao L, Snyder LM J, Thompson M. *ClinicaChimica Acta* 2006; 367: 150-155.
8. Comper WD, Osicka TM, Clark M, Macisaac RJ, Jerums G. *Kidney Int* 2004; 65: 1850-1855.
9. Hoffmann MM, Bugert P, Seelhorst U, Wellnitz B, Winkelmann BR, Boehm O, Ma'rz BW. *Clin Chem* 2007; 53: 540-542.
10. Shaikh A, Seegmiller CJ, Borland MT, Burns EB, Ladwig MP, Singh JR, Kumar R, Larson TS, Lieske JC. *Clin Chem* 2008; 54:1504-1510.
11. Townsend JC. *Clin Chem* 1986; 32/7: 1372-1374.
12. Piro B, Zhang QD, Reisberg S, Novel V, Dang LA, Duc HT, Pham MC. *Talanta* 2010; 82: 608-612.
13. Tsai YC, Huang JD, Chiu CC. *Biosens Bioelectron* 2007; 22: 3051-3056.
14. Yu JJ, Zhao FQ, Zeng BZ. *J Solid State Electrochem* 2008; 12: 1167-1172.
15. Omidfar K, Kashanian S, Paknejad M, Kashanian S, Larijani B, Roshanfekr H. *Hybridoma* 2007; 26: 217-222.
16. Omidfar K, Kia S, Kashania S, Paknejad M, Besharati A, Kashanian S, Larijani B. *Appl Biochem Biotechnol* 2010; 160(3): 843-55.
17. Omidfar k, Rasae MJ, Zaraee AB, Amir MP, Rahbarizadeh F. *J Immunoass Immunoch* 2002; 23: 385-398.
18. Ho JA, Chang HC, Shih NY, Wu LC, Chang YF, Chen CC, Chou C. *Anal. Chem* 2010; 82: 5944-5950.
19. Bonel L, Vidal JC, Duato P, Castillo JR. *Anal Methods* 2010; 2: 335-341.
20. Idegami K, Chikae M, Kerman K, Nagatani N, Yuhi T, Endo T, Tamiyae E. *Electroanalysis* 2008; 20:14 – 21.